

Summer school entitled:

Stuff we don't mention in the normal course of studies
in School of Civil Engineering N.T.U.A.

July 3-9, 2023

Camping Rovies

Euboea

Report by G.-Fivos Sargentis



ADDOPTML



National
Technical
University
of Athens



School
of Civil
Engineering

Summer school
Stuff we don't
mention in the
normal course of studies

3-9 July 2023



Artificial intelligence & 3D printing
Infrastructures and landscapes
Climate change
Wildfires and Floods. Risks in social cohesion
The role of water-energy-food nexus



North Euboea, camping ROVIES

Registrations:
fivos@itia.ntua.gr



Εθνικό
Μετσόβιο
Πολυτεχνείο



Σχολή
Πολιτικών
Μηχανικών

Καλοκαιρινό εργαστήριο
Παραλειπόμενα της εκπαιδευτικής
διαδικασίας

3-9 Ιουλίου 2023



Artificial intelligence & 3D printing. Ο ρόλος του μηχανικού
Κλιματική αλλαγή
Μεταβαλλόμενα τοπία (πυρκαγιές, μεταβολές χλωρίδας)
Τοπία και έργα υποδομής
Ο ρόλος του πλέγματος νερού-ενέργειας-τροφίμων



Βόρεια Εύβοια, κάμπινγκ Ροβιές
Κόστος διανυκτέρευσης 5 €/ημέρα

Δηλώσεις συμμετοχής
email: fivos@itia.ntua.gr

Προθεσμία υποβολής δηλώσεων: 31.5.2023 (θέσεις περιορισμένες)



ADDOPTML

School of Civil Engineering x +

Not secure | www.civil.ntua.gr/news/2023/4/28/paraleipomena/

Ελληνικά

Information - News - Departments Laboratories Staff - Administration Courses

Home / Last News & Archive / Dean's announcements / Παραλειπόμενα της εκπαιδευτικής διαδικασίας

Categories of News

- Athletics NTUA
- General
- Registrar's Announcements
- Dean's announcements
- Distinctions
- Sign up for Lessons
- Course Examinations
- Ανακοινώσεις για Απαλλαγές Μαθημάτων
- Ανακοινώσεις βελτιώσεων μαθημάτων
- Ανακοινώσεις Κατακτητηρίων Εξετάς
- Ανακοινώσεις Εγγραφών&Μετεγγραφών
- Ανακοινώσεις Πρακτικής Άσκησης
- Ανακοινώσεις που αφορούν τα συγγράμματα
- Collective bodies decisions - Student matters
- Ανακοινώσεις Τελοφοίτων & Διπλωματούχων
- Scholarships-Awards-Postgraduate Programs
- Ημερίδες-Εκδηλώσεις-Συνέδρια
- Προκηρύξεις θέσεων Υποτρόφων Υ.Δ.

Παραλειπόμενα της εκπαιδευτικής διαδικασίας

Το **καλοκαιρινό εργαστήριο** θα γίνει στο κάμπινγκ Ροβιές στην Βόρεια Εύβοια **Δευτέρα 3 Ιουλίου— Κυριακή 9 Ιουλίου**. Το κόστος της διανυκτέρευσης κατ' άτομο θα είναι **5 €/ημέρα** στον χώρο του κάμπινγκ (αυτοκίνητο, σκηνή και κατανάλωση ρεύματος δεν θα χρεωθεί). Στην τιμή αυτή δεν συμπεριλαμβάνονται η διατροφή και τα προσωπικά έξοδα. Ο κάθε συμμετέχων πρέπει να έχει τον δικό του εξοπλισμό κατασκήνωσης.

Στόχος της οργάνωσης είναι να συνυπάρξουμε σε ένα non-formal περιβάλλον, να χαλαρώσουμε μετά από μια πιεστική ακαδημαϊκή χρονιά και με την ευκαιρία αυτή να συζητήσουμε διάφορα θέματα που μας απασχολούν τα οποία δεν έχουμε την ευκαιρία να πούμε στο σφιχτό χρόνο του ακαδημαϊκού εξαμήνου.

Διαλέξεις Δευτέρα-Παρασκευή: 20:00-22:00, επεξεργασία και συζήτηση των θεμάτων τις υπόλοιπες ώρες της ημέρας. Οι διαλέξεις θα είναι ανοιχτές. Μπορείτε να τις παρακολουθήσετε ακόμα και αν επιλέξετε να διανυκτερεύσετε αλλού.

Θεματικές ενότητες:

- Artificial intelligence και 3D printing. Φόβοι, προοπτικές και ο ρόλος του μηχανικού
- Κλιματική αλλαγή. Η επικοινωνία της και η επίδρασή της στο ενεργειακό μίγμα. Οι προοπτικές στα πλαίσια του αφηγήματος
- Μεταβαλλόμενα τοπία (πυρκαγιές, μεταβολές χλωρίδας). Επιρροές στην κοινωνική συνοχή
- Τοπία και έργα υποδομής (ανεμογεννήτριες, φωτοβολταϊκά και υδροηλεκτρικά έργα). Σκοπιμότητα, προκλήσεις και προτάσεις
- Ανάπτυξη vs από-ανάπτυξη. Ο ρόλος του πλέγματος νερού-ενέργειας και τροφίμων, η έννοια του χρήματος στον μεταβαλλόμενο κόσμο. Η αντίληψη του μηχανικού

Διδάσκοντες:

- Νίκος Μαμάσης
- Γ.-Φοίβος Σαργέντης
- Άνυ Ηλιοπούλου
- Εύη Φραγγεδάκη
- Ρωμανός Ιωαννίδης
- Παναγιώτης Δημητριάδης
- Μιχάλης Χιωτίνης
- Αντώνης Χριστοφίδης
- Σταυρούλα Σιγούρου

Δηλώσεις συμμετοχής: fivos@itia.ntua.gr

Προθεσμία υποβολής δηλώσεων συμμετοχής: 31.5.2023 (θέσεις περιορισμένες)

Attached file

- poster_update.jpg (662.4 KB)



3 - 9 Ιουλίου

Μια ομάδα πρωτοπόρων Καθηγητών του Εθνικού Μετσόβιου Πολυτεχνείου οργανώνει **Καλοκαιρινό εργαστήριο** για τους φοιτητές του ΕΜΠ με ανοιχτές διαλέξεις για "καυτά" θέματα για το περιβάλλον.

Τις διαλέξεις μπορεί να τις παρακολουθήσει οποιοσδήποτε (είτε μένει στο κάμπινγκ είτε όχι). Δευτ - Παρ. 20:00-22:00μμ

Θεματικές ενότητες:

Artificial intelligence και 3D printing. Φόβοι, προοπτικές και ο ρόλος του μηχανικού

Κλιματική αλλαγή. Η επικοινωνία της και η επίδρασή της στο ενεργειακό μίγμα. Οι προοπτικές στα πλαίσια του αφηγήματος

Μεταβαλλόμενα τοπία (πυρκαγιές, μεταβολές χλωρίδας). Επιρροές στην κοινωνική συνοχή

Τοπία και έργα υποδομής (ανεμογεννήτριες, φωτοβολταϊκά και υδροηλεκτρικά έργα). Σκοπιμότητα, προκλήσεις και προτάσεις

Ανάπτυξη vs από-ανάπτυξη. Ο ρόλος του πλέγματος νερού-ενέργειας και τροφίμων, η έννοια του χρήματος στον μεταβαλλόμενο κόσμο. Η αντίληψη του μηχανικού

Διδάσκοντες: Νίκος Μαμάσης, Γ.-Φοίβος Σαργέντης, Άνυ Ηλιοπούλου, Εύη Φραγγεδάκη, Ρωμανός Ιωαννίδης, Παναγιώτης Δημητριάδης, Μιχάλης Χιωτίνης, Αντώνης Χριστοφίδης, Σταυρούλα Σιγούρου



Artificial intelligence & 3D printing. Ο ρόλος του μηχανικού
Κλιματική αλλαγή

Μεταβαλλόμενα τοπία (πυρκαγιές, μεταβολές χλωρίδας)

Τοπία και έργα υποδομής

Ο ρόλος του πλέγματος νερού-ενέργειας-τροφίμων



Βόρεια Εύβοια, κάμπινγκ Ροβιές
Κόστος διανυκτέρευσης 5 €/ημέρα

Δηλώσεις συμμετοχής
email: fivos@itia.ntua.gr

Προθεσμία υποβολής δηλώσεων: 31.5.2023 (θέσεις περιορισμένες)





Παραλειπόμενα της εκπαιδευτικής διαδικασίας

Public group · 1 member



<https://www.facebook.com/groups/280416004388814>

<https://groups.google.com/g/paraleipomena>



Artificial intelligence & 3D printing. Ο ρόλος του μηχανικού
Κλιματική αλλαγή
Μεταβαλλόμενα τοπία (πυρκαγιές, μεταβολές χλωρίδας)
Τοπία και έργα υποδομής
Ο ρόλος του πλέγματος νερού-ενέργειας-τροφίμων



Βόρεια Εύβοια, κάμπινγκ Ροβιές
Κόστος διανυκτέρευσης 5 €/ημέρα

Δηλώσεις συμμετοχής
email.fivos@iti.ntua.gr



10 οθόνες για τη βολή δηλώσεων 15.5.2023 (θέσεις περιορισμένες)



Παραλειπόμενα της εκπαιδευτικής διαδικασίας



G.-Fivos Sargentis
34 εγγεγραμμένοι

Αναλυτικά στοιχεία

Επεξεργασία βίντεο

0



Κοινοποίηση

Λήψη

Αποθήκευση



Day 1.

"Artificial intelligence": Objections, prospects, and the role of the engineer

(more: <https://www.itia.ntua.gr/el/docinfo/2309/>)

Michalis Chiotinis (PhD candidate)

Language and meta-language models

(more: <https://www.itia.ntua.gr/el/docinfo/2308/>)

Antonis Christofides (PhD candidate)

Day 2.

Introduction to Water-Energy-Food nexus

(more: <https://www.itia.ntua.gr/el/docinfo/2310/>)

Prof. Nikos Mamassis

The role of the water-energy and food nexus in prosperity

(more: <https://www.itia.ntua.gr/el/docinfo/2318/>)

Dr G.-Fivos Sargentis

Overpopulation and environmental determinism

(more info: <https://www.itia.ntua.gr/el/docinfo/2317/>)

Dr G.-Fivos Sargentis

Day 3.

Feasibility of the RE infrastructures: The role of beauty

(more: <https://www.itia.ntua.gr/el/docinfo/2319/>)

Dr G.-Fivos Sargentis

Spatial and architectural planning for the integration of infrastructure projects in the landscape

(more: <https://www.itia.ntua.gr/el/docinfo/2321/>)

Dr Romanos Ioannidis

Day 4.

Dealing with and management of natural disasters with emphasis on floods. *Part A*: Uncertainty analysis in flood risk assessment (natural process and flood model)

(more: <https://www.itia.ntua.gr/el/docinfo/2315/>)

Dr. Panayiotis Dimitriadis, Stavroula Sigourou (PhD candidate)

Dealing with and management of natural disasters with emphasis on floods. *Part B*: The importance of field investigation in flood risk assessment

(more: <https://www.itia.ntua.gr/el/docinfo/2316/>)

Dr. Panayiotis Dimitriadis, Stavroula Sigourou (PhD candidate)

Natural disasters with an emphasis on floods

(more: <https://www.itia.ntua.gr/el/docinfo/2314/>)

Stavroula Sigourou (PhD candidate)

Wildfires. Case study: The fire in Euboea 2021

(more: <https://www.itia.ntua.gr/el/docinfo/2320/>)

Dr G.-Fivos Sargentis

Day 5

Climate and Climate Change: Definitions

(more: <https://www.itia.ntua.gr/el/docinfo/2311/>)

Prof. Nikos Mamassis

The communication of "climate change"

(more: <https://www.itia.ntua.gr/el/docinfo/2313/>)

Prof. Nikos Mamassis

The role of climate change in civil engineering studies

Prof. Vicky Tsoukala

What is the "climate crisis" and what does it want

(more: <https://www.itia.ntua.gr/el/docinfo/2284/>)

Prof. Em. Demetris Koutsoyiannis

Day 1 (3.7.2023)



Day 2 (4.7.2023)



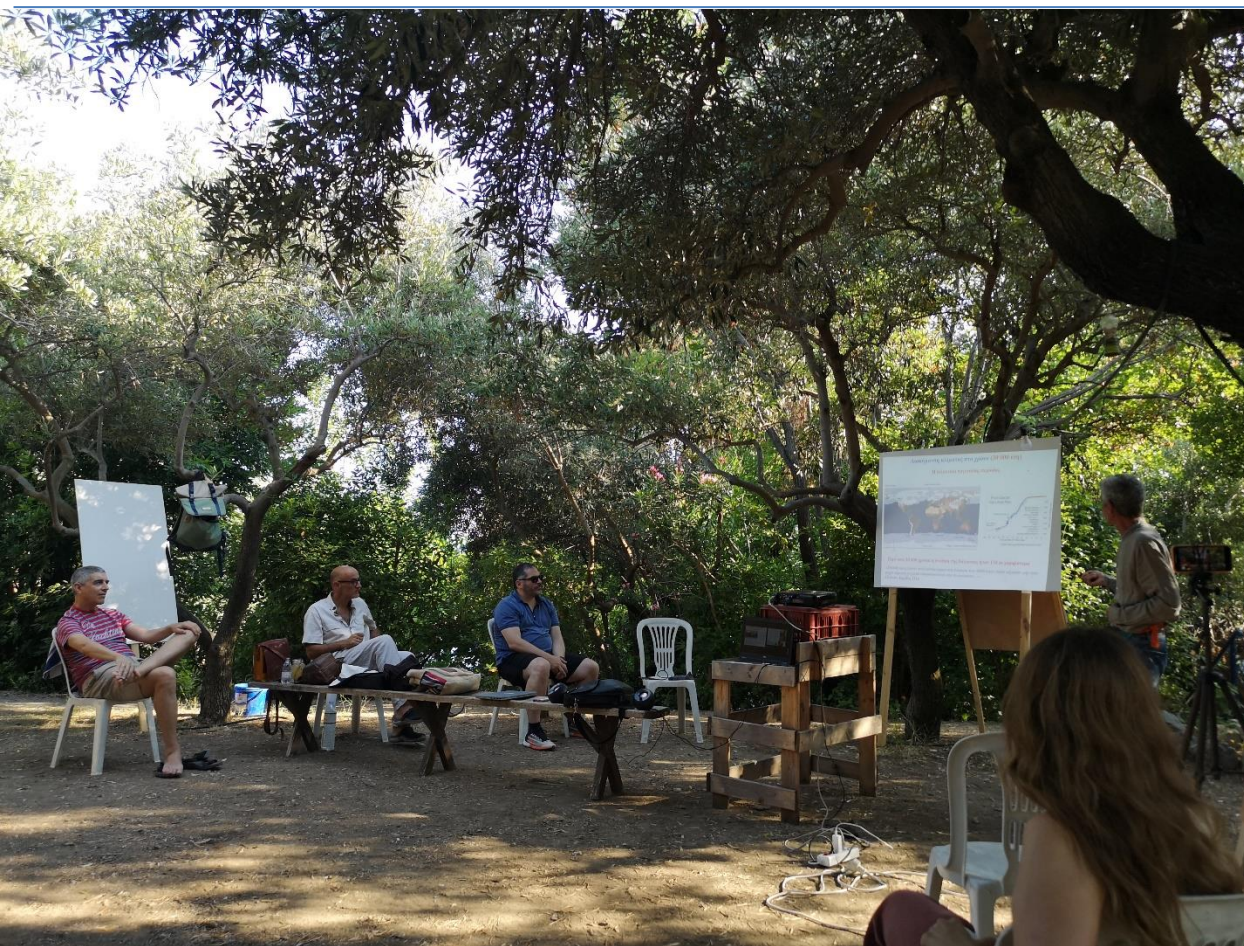
Day 3 (5.7.2023)



Day 4 (6.7.2023)



Day 5 (7.7.2023)



Πρόγνωση κλίματος
Μεγέθη που διαταράσσονται στη χρονική εξέλιξη ενός μη γραμμικού φαινομένου
Σύστημα που περιγράφεται μόνο από τη μεταβλητή X , από τη σχέση
 $X_t = k^t X_0 + \sum_{i=1}^n \alpha_i (1 - k^i) \epsilon_i$ όπου ϵ_i χρονοί

Χρονική εξέλιξη X_1, X_2
Με ελαφρύ
δυναμικό
αρχικά συνθήκες
 $X_1 = 0.660001 \quad X_2 = 0.66$

Χρονική εξέλιξη
 X_1, X_2

Day 5 (7.7.2023)

Μαθηματική αναπαράσταση

Κάθε ζεύγος στοχαστικών ανελίξεων $\underline{x}(t)$ και $\underline{y}(t)$ μπορεί να συνδεθεί βάσει της εξίσωσης

$$\underline{y}(t) = \int_{-\infty}^{\infty} g(h)\underline{x}(t-h)dh + \underline{v}(t)$$

όπου $g(h)$ είναι η συνάρτηση παλμικής απόκρισης (Impulse Response Function—IRF) και $\underline{v}(t)$ είναι μια άλλη στοχαστική ανελίξη, μη συσχετισμένη με τη $\underline{x}(t)$.

- Υπάρχουν άπειρα ζεύγη $(g(h), \underline{v}(t))$, από τα οποία εντοπίζουμε τη λύση ελαχίστων τετραγώνων (ΛΕΤ): αυτή που οδηγεί σε ελάχιστη διασπορά $\text{var}[\underline{v}(t)]$, ή σε μέγιστη επεξηγούμενη διασπορά $e = 1 - \text{var}[\underline{v}(t)]/\text{var}[\underline{y}(t)]$.
- Υποθέτοντας ότι έχει προσδιοριστεί η ΛΕΤ $g(h)$, το σύστημα $(\underline{x}(t), \underline{y}(t))$ είναι:
 - δυναμικά αιτιακό (potentially causal) αν $g(h) = 0$ για κάθε $h < 0$, και το e δεν είναι αμελητέο
 - δυναμικά αντιαιτιακό (potentially anticausal) αν $g(h) = 0$ για κάθε $h > 0$, και το e δεν είναι αμελητέο (οπότε το σύστημα $(\underline{y}(t), \underline{x}(t))$ είναι δυναμικά αιτιακό)
 - δυναμικά αμφιαιτιακό (potentially hen-or-egg /HOE/ causal) αν $g(h) \neq 0$ για κάποια $h > 0$ και κάποια $h < 0$, και το e δεν είναι αμελητέο
 - μη αιτιακό (noncausal) αν το e είναι αμελητέο.
- Το υπολογιστικό πλαίσιο για την αναγνώριση της αιτιότητας έχει κατασκευαστεί για την περίπτωση 3, με τις λουπές να προκύπτουν ως ειδικές περιπτώσεις. Πηγή: Koutsougiannis et al. (2022a,b)

Δ. Κουτσογιάννης. Τι είναι και τι θέλει η «κλιματική κρίση»



G.-F. Sargentis, P. Defteraios, N. D. Lagaros, and N. Mamassis. Values and costs in history
(more: <https://www.itia.ntua.gr/el/docinfo/2332/>)

G.-F. Sargentis, R. Ioannidis, E. Frangedaki, P. Dimitriadis, T. Iliopoulou, D. Koutsoyiannis, and N. D. Lagaros,. Wildfires
(more: <https://www.itia.ntua.gr/el/docinfo/2331/>)

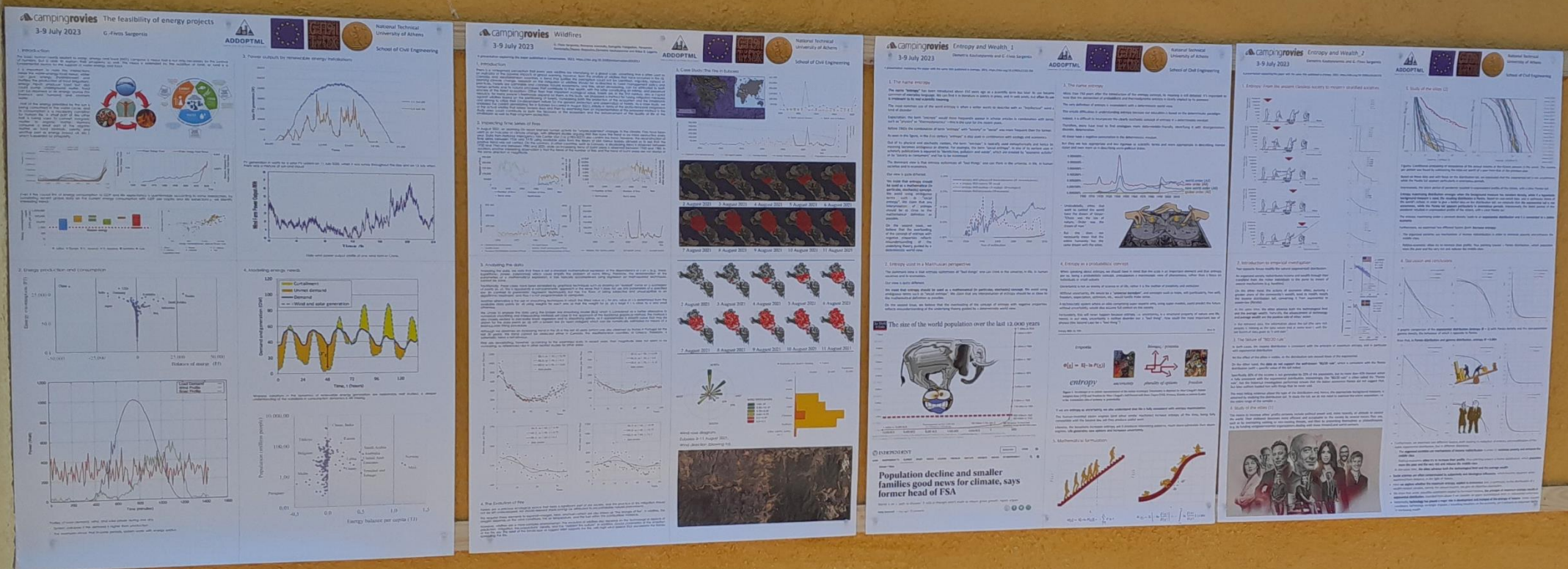
D. Koutsoyiannis, and G.-F. Sargentis. Entropy and Wealth
(more: <https://www.itia.ntua.gr/el/docinfo/2330/>)

E. Frangedaki, 3D printing. Aspects and the role of engineer
(more: <https://www.itia.ntua.gr/el/docinfo/2327/>)

T. Iliopoulou, and D. Koutsoyiannis. A cool look at rainfall climatic changes in Greece and worldwide
(more: <https://www.itia.ntua.gr/el/docinfo/2325/>)

G.-F. Sargentis. The feasibility of energy projects
(more: <https://www.itia.ntua.gr/el/docinfo/2328/>)

N. Mamassis and G.-F. Sargentis. Introduction to water-energy-food nexus
(more: <https://www.itia.ntua.gr/el/docinfo/2329/>)

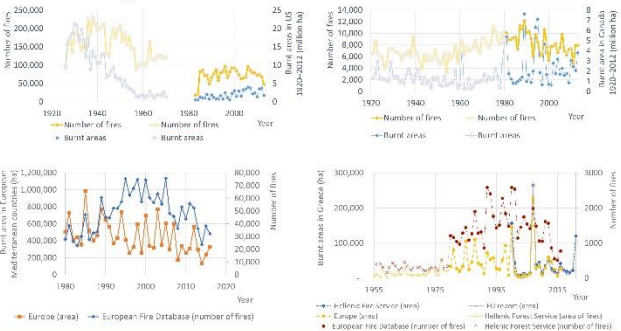


1. Introduction

There is a widespread perception that every year wildfires are intensifying on a global scale, something that is often used as an indicator of the adverse impacts of global warming. However, from the analysis of wildfires that have occurred in the US, Canada, and Mediterranean countries, a trend that justifies this perception could not be identified. Arguably, instead of blaming climate change, research on the mitigation of wildfires should be re-directed to forest management policy and practices. Forests are admirable and complex natural ecosystems, and fires, albeit devastating, can be attributed to both human activity and to natural processes that contribute to their rebirth, with the latter constituting an intrinsic and perpetual process of the forest ecosystem. Other than their important ecological value, forests are, in the 21st century, also a crucial resource, for many people's livelihoods depend on them. In this study, we proposed a method for taking mitigation measures against wildfires based on the partitioning of forests, considering both the protection of the ecosystem and the inhabitants and aiming to utilize their co-dependent nature for the general protection and preservation of forests. As a case study, we analyzed the current devastating fire in Euboea (occurred in August 2021). Initially, in terms of the spatio-temporal progression of the actual wildfire that lasted several days and then by examining how an implementation of the proposed method in the study area could contribute to both the recovery of the ecosystem and the enhancement of the quality of life of the inhabitants as well as their long-term protection.

2. Inspecting Time Series of Fires

In August 2021, an alarming UN report blamed human activity for "unprecedented" changes to the climate. Fires have been used as an indicator of climate change, with different studies arguing that fires have the trend to be more destructive every year. Data from National Interagency Fire Center USA [16] (1963-2021) also confirm this trend. However, the reconstruction of time series between 1926 and 1970 using available data from the Library of USGS, Census Bureau allowed us to see that the positive trend was not verified. On the contrary, in other countries, such as Canada, a decreasing trend is observed between 1920 and 1960 and between 1980 and 2020, while an increasing trend of burnt areas is observed between 1960 and 1980. In addition, another interesting observation is that the trend of the number of fires and the trend of burnt areas are not always of the same direction or magnitude.



3. Analyzing the data

Analyzing the data, we note that there is not a standard mathematical expression of the dependence of y on x (e.g., linear, logarithmic, power, polynomial) which could simplify the problem of curve fitting. Therefore, the determination of the parameters of a mathematical expression, a task typically accomplished using regression (or least-squares) techniques, cannot be done.

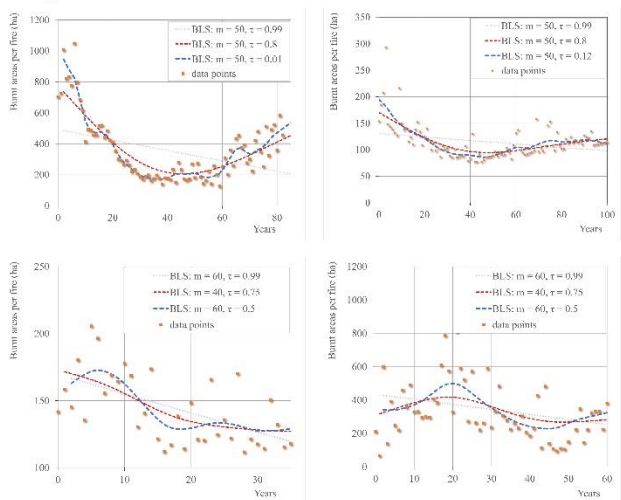
Traditionally, these cases have been remedied by graphical techniques such as drawing an "eyeball" curve on a scatterplot of pairs (x, y). This is apparently a non-parametric approach, in the sense that it does not use any parameters of a specified form (in contrast to parametric regression techniques) but has the flaws of being subjective and unsuitable to an objective treatment, and thus it is not programmable to computers.

Another alternative is the use of smoothing techniques in which the fitted value of y for any value of x is determined from the available data points (xi, yi) using weights for each one so that the weight for (xi, yi) is large if xi is close to xi and small otherwise.

We chose to analyze the data using the broken line smoothing model (BLS) which is considered as a better alternative to numerical smoothing and interpolating methods yet closer to the approach of the traditional graphical method. The method is also closely related to piecewise linear regression and to smoothing splines, as it approximates a smooth curve that may be drawn for the data points (xi, yi) with a broken line (or open polygon) which can be numerically estimated by means of a least squares fitting procedure.

Although we observed an increasing trend in the US in the last 40 years (which was also observed by Nunes in Portugal for the last 30 years), this trend cannot be detected either in Canada, the Mediterranean countries, or Greece. Therefore, a systematic trend is not obvious.

Fires are devastating; however, according to the examined data, in recent years, their magnitude does not seem to be increasing, as referenced also in other related studies for other areas.



4. The Evolution of Fire

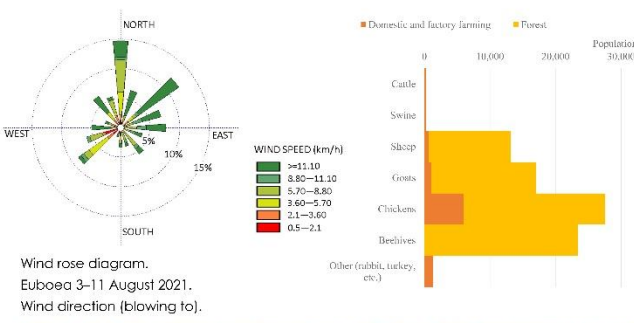
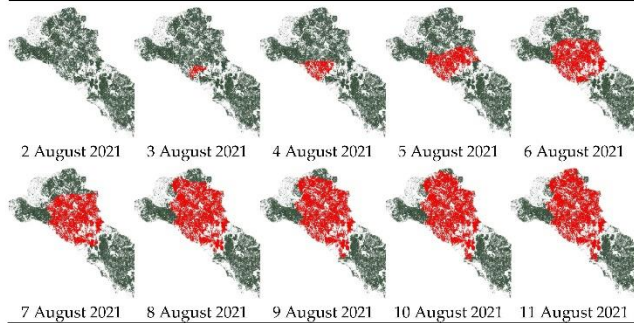
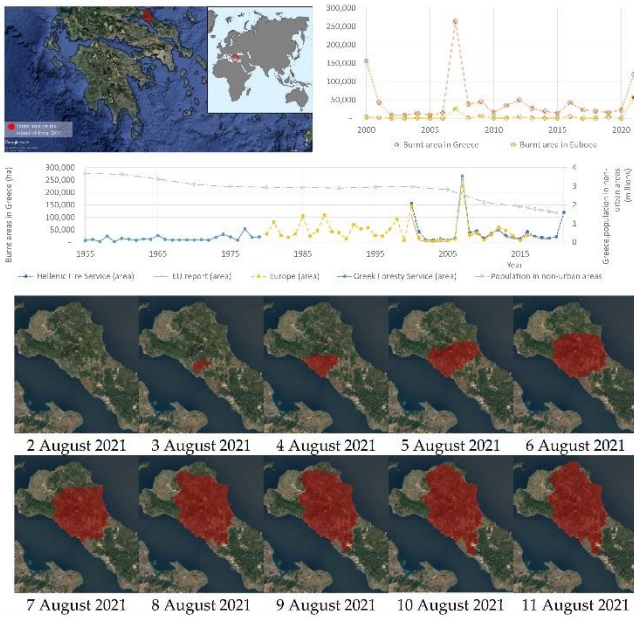
Forests are a precious ecological source that hosts a significant part of our society, and the practice of fire mitigation should not be left undeveloped, nor should relevant shortcomings be attributed to uncontrollable natural phenomena.

Fire requires three elements to expand—oxygen, heat, and fuel—which are also known as "the triangle of fire". In wildfires, the oxygen depends on the wind conditions, the air temperature, and the fuel within the combustible materials.

However, wildfires are a more complex phenomenon. The evolution of wildfires also depends on the technological aspects of prediction, mitigation, the population's density, and the "resident fire culture". In addition, crucial parameters of the evolution of the fire are: the relief of the landscape as rugged relief supports the fire, with high wind speeds that accelerate the flames spreading the fire.



5. Case Study: The Fire in Euboea



1. Συστήματα νερού-ενέργειας και τροφίμων

Ενα υδατικό σύστημα παρέχει νερό για ανθρώπινη χρήση, είτε για πόσιμο, είτε για άρδευση είτε για βιομηχανία, και επεξεργάζεται τα λύματα για την προστασία της δημόσιας υγείας και την προστασία του περιβάλλοντος. Οι αναγκαίοι οι φυσικοί πόροι, οι υδατικοί πόροι, οι εγκαταστάσεις επεξεργασίας, οι λιμένες απορρύθμισης και οι εκβολές ποταμών αποτελούν βασικά μέρη του συστήματος άρδευσης.

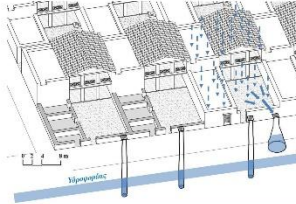
Ενα υδατικό σύστημα περιλαμβάνει τις δραστηριότητες τους πόρους και τους ανθρώπους που εμπλέκονται στη μεταφορά τροφίμων από τα αγροτικά στο τραπέζι. Οι καλλιέργειες, οι ζωοτροφές, τα φάρμακα, τα λιπάσματα, οι σιγαρές, ακόμη και οι δίσκοι μαζ. ηλεκτρικής ενέργειας (κοινωνία ψηφιακή) αποτελούν μέρος του συστήματος τροφίμων.

Ενα ενεργειακό σύστημα περιλαμβάνει όλα όσα χρειάζονται για την παραγωγή και τη διανομή ηλεκτρικής ενέργειας, καθώς και τις εγκαταστάσεις που απαιτούνται για την παραγωγή και τη διανομή τροφίμων. Οι σταθμοί ηλεκτροπαραγωγής, οι εξορυκτές ορυκτών καυσίμων, οι χημικές μεταφορές, τα ανυψωτήρια και τα διακρίθια ηλιακού αερίαιλου μέρος του ενεργειακού συστήματος.

2. Νερό

Πηγές

1. Επιφανειακό νερό (ποτάμια, λίμνες)
2. Υπόγειο νερό (πηγές, πηγάδια)
3. Βρόχινο νερό (συλλογή)
4. Θαλασσινό νερό (αφαλάτωση)
5. Ατμοσφαιρικό νερό (αυτοπύκνωση)
6. Μεταφορά (εξορυκτές)
7. Ανακύκλωση



Χρήσιμα

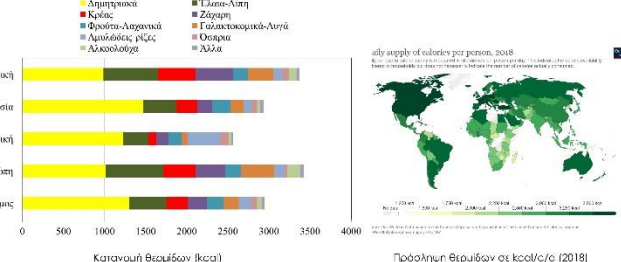
- Καταναλωτικές
- Υδρευση
 - Αρδευση
 - Βιομηχανία
 - Κινητροφορία

Μη καταναλωτικές

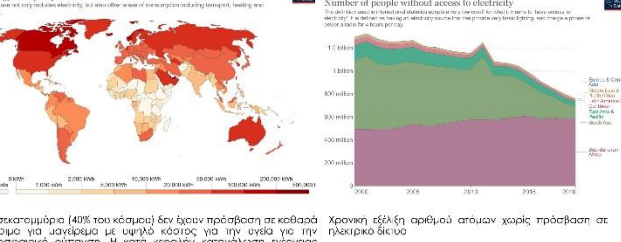
- Ενέργεια
- Αναψυχή
- Ναυσιπλοϊα ποταμών
- Περιβαλλοντική παροχή

Ο WHO και η UNICEF θεωρούν ως ελάχιστη απαίτηση κατανάλωσης νερού τα **20 l/cap/d** από πηγή που βρίσκεται σε απόσταση μικρότερη από **1 km**.

3. Τρόφιμα

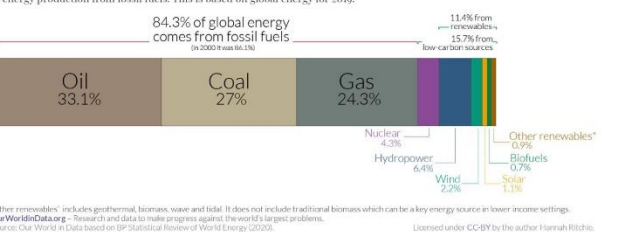


4. Ενέργεια



3 δισεκατομμύρια (40% του κόσμου) δεν έχουν πρόσβαση σε καθαρά καύσιμα για ανάγκες με υψηλό κόστος για την υγεία για την σημαντική ρύπανση. Η κατά κεφαλή κατανάλωση ενέργειας ποικίλει περισσότερο από 10 φορές σε όλο τον κόσμο. Η πρόσβαση στην ενέργεια σχετίζεται στενά με το αίσθημα.

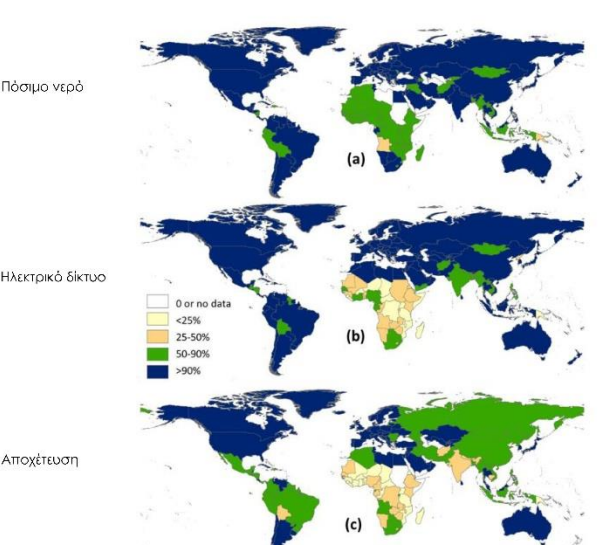
Global primary energy consumption by source



Παγκόσμια κατανάλωση ενέργειας ανά πηγή



5. Πρόσβαση σε βασικά αγαθά το 2014 (% του πληθυσμού κάθε χώρας)



6. Παραδείγματα του πλέγματος νερού-ενέργειας και τροφίμων



6^a. Ετήσια προαεγιστικά μεγέθη για 1 στρέμμα συμπαγών ροδακινών (100 δένδρα) στη Βόρεια Ελλάδα





3-9 July 2023

1. Εισαγωγή

Η 3D εκτύπωση στον κατασκευαστικό κλάδο (βιοδοσκή προστιθέτης κατασκευής - Additive Manufacturing) είναι μία τεχνολογία που τα τελευταία χρόνια πρωταγωνιστεί, καθώς προστέονται ολοένα και περισσότερες εφαρμογές στην υλοποίηση ποιοτικών και συνάμα πιο χειρουργικού κόστους κτιρίων. Πλέον κτίρια, αλλά και ολοκληρωσ συνικτές, υλοποιούνται από εξελιγμένα ρομποτικά συστήματα, ικανά να παράγουν δομές υψηλών προδιαγραφών. Η διαδικασία γίνεται σε ένα ακριβώς ελεγχόμενο εργασιακό περιβάλλον, γεγονός που **μειώνει το σφάλμα «α» μειώνει αισθητά τον χρόνο κατασκευής**, με αποτέλεσμα κτίρια με **μικρότερο κόστος**. Η μέθοδος αυτή εφαρμόζεται σταδιακά για την μαζική παραγωγή κτιρίων με εντυπωσιακά αποτελέσματα.

Το κύριο χαρακτηριστικό των μεθόδων τριδιάστατης εκτύπωσης είναι: η **ελευθερία στη γεωμετρία της μορφής**, η **ταχύτητα ολοκλήρωσης των έργων**, η **αποφυγή χρήσης βελτιωτών**, η **μειωμένη παραγωγή απορριμμάτων**, ο **φιλικός εν γένει χαρακτήρας τους ως προς το περιβάλλον**, τη φύση και την ασφάλεια (Santagata, et al., 2019). Εκτός από καικότες, έχουν κερηθεί γερές υποολύματα οι, οιχεία υδρευσης και αποχέτευσης και ασκήες εξοικονόμησης.

Η κείρη εφαρμογή της τριδιάστατης εκτύπωσης σκυροδέματος στον κατασκευαστικό τομέα είναι προς το παρόν περιορισμένη κυρίως σε ασυμμετρικές περιοχές λόγω έλλειψης προτύπων και οδηγιών, τα οποία αποτελούν πεδίο έρευνας στα επόμενα χρόνια.



Εκ. 1. Η εφαρμογή της τριδιάστατης εκτύπωσης σκυροδέματος



Εκ. 2. Η εφαρμογή της τριδιάστατης εκτύπωσης σκυροδέματος

2. Η ιστορία της τριδιάστατης εκτύπωσης

Οι ρίζες της τριδιάστατης εκτύπωσης χρονολογούνται από τα μέσα της δεκαετίας του 1980, όταν επινοήθηκε η στερεολιθογραφία ή SLA. Το SLA λειτουργεί ως λέιζερ υψηλής ισχύος και μετρίεται την ενεργή ρητίνη σε στερεό υλικό, σταδιακά στρώμα – στρώμα. Ως τριδιάστατη εκτύπωση θεωρείται γενικά η τεχνολογία που δημιουργεί εξαρτήματα με πρόσθετο τρόπο. Ακόμη και σήμερα, η SLA εξακολουθεί να είναι μια από τις πιο δημοφιλείς τεχνολογίες τριδιάστατης εκτύπωσης, ωστόσο έχουν αναπτυχθεί και άλλες τεχνολογίες 3D printing όπως η επιλεκτική παρασυσσώμαση με λέιζερ (SLS), η μρονιολιθογραφία λιωμένης εναιώθησης (FDM) και η άμεση εναιώθηση με άλλων (DMD).

Πο πρόσθετο από μια δεκαετία, η τριδιάστατη εκτύπωση έχει χρησιμοποιηθεί με αντιπροσωπευτικά έργα στον τομέα των κατασκευών, όπως:

- **To 2004**, στο University of Southern California (USC) ξεκίνησε η 3Dεκτύπωση για μία τοιχοποιία, γεγονός που αποτέλεσε την έναρξη της τεχνολογίας στον κατασκευαστικό κλάδο.
- **To 2014**, ολοκληρώθηκε στο Άμστερνταμ μία κατοικία (First 3D Printed House to Be Built In Amsterdam, Archdaily, 2014).
- **To 2016**, ολοκληρώθηκε ένα πολυώροφο κτίριο στην Κίνα από την Winsun (Zhang, M., 2015), ενώ την ίδια χρονιά, το Dubai Future Foundation έχτισε το α΄ράφδιο του μέλλοντος, ένα σημαντικό ορόσημο για την τεχνολογία στον τομέα των γιγαντικών κατασκευών, με ένα κτίριο 250μ. που κατασκευάστηκε από έναν μεγάλο τριδιάστατο εκτυπωτή με διαστάσεις 36,5 x 12 x 6μ., ενώ η κατασκευή διήρκεσε μόλις 17 ημέρες. Σήμερα, η αγορά κατασκευών τριδιάστατης εκτύπωσης αναπτύσσεται γρήγορα και αναμένεται να φτάσει το 1,5 δισεκατομμύριο δολάρια μέχρι το 2024.

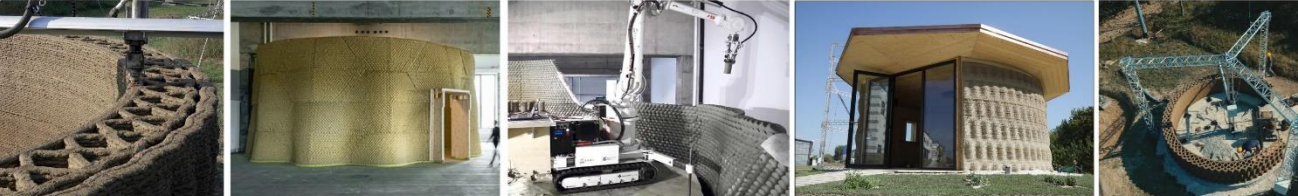


Εκ. 3. 3D εκτύπωση της κλιμακωτής κλιμακωτής (WASP 2022) από τον G. Sotgiu Research, Βουκουρεστίο 2022. 4. Η πρώτη 3D εκτύπωση της κατοικίας του πρώτου 3D εκτυπωτή κατασκευαστή, από τον J. P. de Wit, 2014. 5. Η πρώτη 3D εκτύπωση της κατοικίας του πρώτου 3D εκτυπωτή κατασκευαστή, από τον J. P. de Wit, 2014. 6. Η πρώτη 3D εκτύπωση της κατοικίας του πρώτου 3D εκτυπωτή κατασκευαστή, από τον J. P. de Wit, 2014.

3. Είδη εκτύπωσης σκυροδέματος και Προσθήκη σπλισμού

Οι δύο βασικές μέθοδοι που υιοθετήθηκαν στην τεχνολογία προστιθέτης κατασκευής (AM) με το μενιουβέ υλικό είναι η εναιώθηση με βάση την τεχνική της εξώθησης (επιλεκτική απόθεση υλικού με εξώθηση) (EDCP) και είναι παράμοια τεχνική με το μονοκόμ εναιώθησης που χρησιμοποιείται σε τεχνολογίες πολυμερών και μετάλλων, αλλά και οι μέθοδοι κίνησης σε οκάνη (επιλεκτική σύνθεση) χρησιμοποιούν ως κομηνιού υλικό ή με πλήρωση του τοιχοποιίας ζυλιού, όπου ένα οριζόντιο άνωμα ως μη ροή, καλύπτει επιλεκτικά το όλο ή τμήμα σε το οποίο απαιτείται ένα βραχυκύκλωτο παράγοντα, ο οποίος ενεργοποιείται χρησιμοποιώντας υπερηχοκύματα (Jawicki, et al., 2018).

Σε ορισμένες περιπτώσεις εννοείται η εναιώθηση για την ενίσχυση των υφιστάμενων κτιρίων σκοροδέματος προκειμένου να βελτιωθεί η δομική τους αντοχή στην κατασκευή (Neriello, V. N., et al., 2018). Οι μέθοδοι ενίσχυσης μπορούν να οργανωθούν ανάλογα με τη φύση του σπλισμού, εξωτερικός ή εσωτερικός καθώς και αν έχει εγκατασταθεί πριν ή μετά την εκτύπωση σκυροδέματος. Ο σπλισμός μπορεί να εισαχθεί είτε χειρωνακτικά στα κοίλα μέρη που στυλιάζονται στην κατασκευή, είτε ρομποτικά (Wangler, et al., 2014). Η ταυτόχρονη εκτύπωση σπλισμού και σκυροδέματος δεν είναι εφικτή τελικά λόγω της υψηλής θερμοκρασίας που δημιουργείται από την εκτύπωση χαλαρά. Επίσης έχει εφαρμοστεί η διαδικασία εκτύπωσης άσβεστωτο, όπου υπάρχουν αρχικά το εξωτερικό κέλυφος και στη συνέχεια γίνεται χύτευση με σκυροδέμα. Το Institute for Advanced Architecture of Catalonia (IAAC, 2019), σε συνεργασία με την WASP (Ιταλική εταιρεία με 3D εκτυπωτές), εφαρμόσε 3DP με μέγιστο μήκος 60 μέτρας. (Εκ. 3). Στη συνέχεια κατασκευάστηκε το έργο "Taka", εκτύπωση με τη βοήθεια ενός χώρου κυκλικής κίνησης (Gomez, M. et al., 2022).



Εκ. 3. α. Εκτύπωση με τηλέ (WASP 2019) β. Ολοκλήρωση κτιρίου στο IAAC γ. Τοποθέτηση υψοπλάνων (adobe) (WASP 2019), δ. Κτίριο Γαί, Ιταλία, WASP 2019, ε. Εκτύπωση κτιρίου Γαί από τη WASP



National Technical University of Athens

School of Civil Engineering

4. Σύγκριση παραδοσιακής δόμησης και 3d εκτύπωσης

Τα δεδομένα σύγκρισης της παραδοσιακής κατασκευής με σκυροδέμα και της τριδιάστατης εκτύπωσης βασίζονται στην εμπειρία που αποκτήθηκε από το έργο στην Αϊκ-η-Προνεπσε. Μελετήθηκαν οι περιπτώσεις με την τεχνική χύτευσης με χρήση χαλύβδινων καλουπιών και της εκτύπωσης, με αποτέλεσμα **συνολικό κέρδος 62,5%** (βάση ρεαλιστικών τιμών στο ίδιο κοινωνικό-οικονομικό περιβάλλον της Δυτικής Ευρώπης).

Κύριος λόγος για τη διαφορά κόστους (εκτός από το κέρδος που προσδιορίστηκε στο χρόνο, τα υλικά και το εργατικό δυναμικό) είναι η μη χρήση εξειδικευμένου υλικού και εξειδικευμένης διαμόρφωσης καλουπιού, γεγονός που επιτυγχάνεται με χρήση της μεθόδου lost formwork.

Συγκριτικά ως προς την κατανάλωση υλικών:

3d printing/ Σκυροδέμα 3D Εκτύπωσης: 650 kg και Σκυροδέμα Χύτευσης UHPC: 1600 kg. Χαλύβδινες Ενισχύσεις (Πες.): 50 kg

Παραδοσιακή κατασκευή/ Σκυροδέμα Χύτευσης UHPC: 2250 kg. Χαλύβδινες Ενισχύσεις (Πες.): 50 kg

Σύγκριση ως προς το χρόνο εργασίας

3d printing: Βελτιστοποίηση υφιστάμενου σχεδιασμού και το σχεδιασμός διεργασιών: 3 ημέρες, Δημιουργία Μοντέλου: 3 ημέρες.

Τελεσίταξη εκτύπωσης του εξωτερικού κελύφους σε σκυροδέμα: 2 ημέρες

Παραδοσιακή κατασκευή: Ρυθμίσεις: 1 ημέρα Δημιουργία Αισθητικού Καλούπιου: 3 ημέρες, Χύτευση Σκυροδέματος στο Κέλυφος: 1 ημέρα Χύτευση Σκυροδέματος στο Καλούπι: 1 ημέρα.

Οι υπόλοιπες μονάδες όπως ρυθμίσεις, μεταφορά στο σημείο εγκατάστασης, σύνδεση, επικάλυψη (φινιρίσμα) είναι κοινή διάρκεια και οι δύο περιπτώσεις.

Σύνολο 14,5 ημέρες με **3d printing** και 18,5 ημέρες στην **Παραδοσιακή κατασκευή**, οπότε ο κατασκευαστικός χρόνος μειώθηκε 14,2%.



Εκ. 4. 3D εκτύπωση κτιρίου στο Μπασελ, Γερμανία, 2019 5. Στοιχισμένο κατασκευαστικό έργο, Αϊκ-η-Προνεπσε, Ιταλία, 2019

5. Ευκαιρίες και προκλήσεις για τους Μηχανικούς

Οι συμβατικές διαδικασίες κατασκευής όπως η εγκατάσταση σπλισμού η χύτευση σκυροδέματος και η πλινθοδομή συνεπάγονται βαριά χειρωνακτική εργασία και εμπειρόντας πολλών παράγοντες επικινδυνότητας. Αυξάνοντας τον βαθμό αυτοματισμού, η προστιθέτη κατασκευή μπορεί να μειώσει τη χειρωνακτική εργασία και να βελτιώσει την ασφάλεια στο χώρο εργασίας (Koschik, et al., 2017). Οι τεχνικές προστιθέτης κατασκευής θα μπορούσε επίσης να χρησιμοποιηθούν για κατασκευαστικά έργα σε ακραίες περιβαλλοντικές συνθήκες, όπως για παράδειγμα σε μέρη που έχουν πληγεί από φυσικές καταστροφές, πολυμικές ζώνες ή σε άλλους πλανήτες. Άλλοι παράγοντες που χρειάζονται περαιτέρω μελέτη είναι:

- Α. Κίνδυνος σφραγιένωσης του ξηρού εκτυπωμένου στοιχείου σε θερμό κλίμα.
- Β. Η προστασία από δυσμενείς περιβαλλοντικές συνθήκες, όπως υπεραίθρια ακτινοβολία, έκθεση σε νερό, χημικά αλλά και υψηλές θερμοκρασίες.

Η προστιθέτη κατασκευή προσφέρει μεγάλη ελευθερία σχεδιασμού στη μορφολογία του κτιρίου, ενώ παράλληλα μπορούν να συνδυαστούν οικιακές πρακτικές αξίες. Επίσης, κατά την εκτύπωση υπάρχει η δυνατότητα να παραχθούν τμήματα που αποσκοπούν από εθολογημένο υλικό-διαδικασίες, π.χ. αυξημένη αντοχή σε περιοχές της εκτύπωσης με έντονη φόρτιση ή σε περιοχές με κενά διαφόρων σχημάτων και μεγεθών, όπως τις περιοχές για Η/Μ εγκαταστάσεις (Zhang B., et al., 2018).

6. Βιβλιογραφία

Gomez, M., Jeb, W., Soebarto, V., & Xie, Y. M. (2022). Digital manufacturing for earth construction: A critical review. *Journal of Cleaner Production*, 358, 130820. <https://doi.org/10.1016/j.jclepro.2022.130820>

Jankó D., The first multi-story 3D Printed House. Published on October 20, 2022 by 3Dnatives. Visited 02 June 2023. <https://www.3dnatives.com/en/3d-printed-house-construction-10212022-01/>

Neriello, M. (2017). 3D printing applications and advanced manufacturing as a means for the design of sustainable building components. *Frontiers in Engineering*, 1(4), 106-116. <https://doi.org/10.3389/feng.2017.00014>

Reading, S. (n.d.). 3D printing: The future of construction. *Construction Research and Innovation*, 1(2), March 2018, pp. 358-366. <https://doi.org/10.1016/j.cri.2018.03.001>

Wangler, S. (n.d.). 3D printing: The future of construction. *Construction Research and Innovation*, 1(2), March 2018, pp. 358-366. <https://doi.org/10.1016/j.cri.2018.03.001>

Neriello, V. N., Orlandi, H., & Neriello, M. (2018). 3D printing: Reinforcement into digital concrete construction. In *Proceedings of IASS annual symposium* (Vol. 2018, No. 7, pp. 1-8). International Association for Shell and Spatial Structures (IASS).

Stani, M. World's first 3D printed apartment building constructed in China. *China Daily*, Jan. 14, 2015. <https://www.chinadaily.com.cn/culture/2015/01/14/3d-printed-apartment-building-constructed-in-china/>, visited 03 June 2023.

Van Es, K. IASC develops and constructs Spain's first 3D printed building for the world's first 3D printed building. *WASP*, Amsterdam, September 5, 2022. <https://www.wasp.nl/en/news-releases/development-construction-first-3d-printed-building-in-the-world-and-construction/>, visited June 2023.



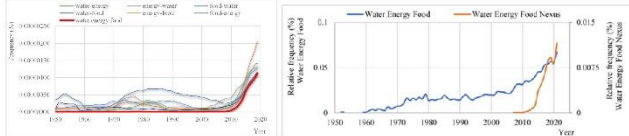
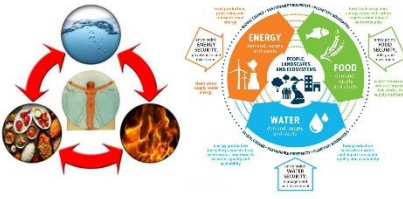
3-9 July 2023

1. Introduction

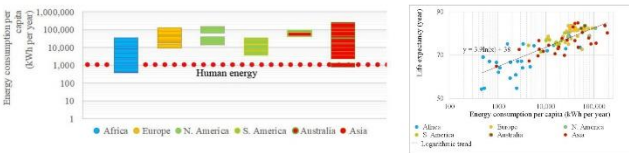
The basic human needs related to water, energy and food (WEF) compose a nexus that is not only necessary for the survival of humans, but is able to explain their prosperity as well. This nexus is extended by the addition of land, as land is a fundamental source for the support of water-energy and food.

It is important to note the interrelations inside the water-energy-food nexus: water can give energy (hydropower) and multiply the production of food (irrigation), energy inputs produce food but also could pump underground water, food can be assumed as an energy source for livestock and humans) and contains water.

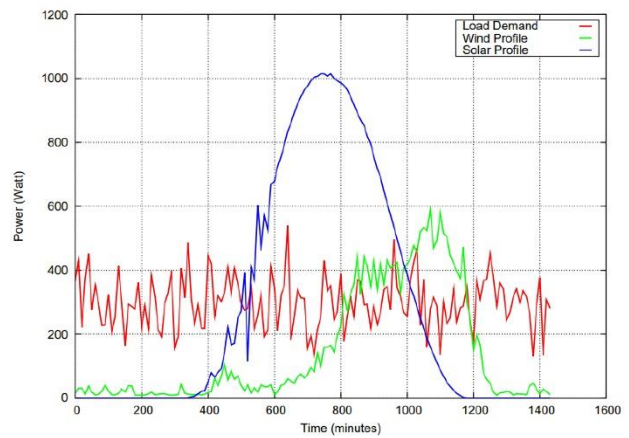
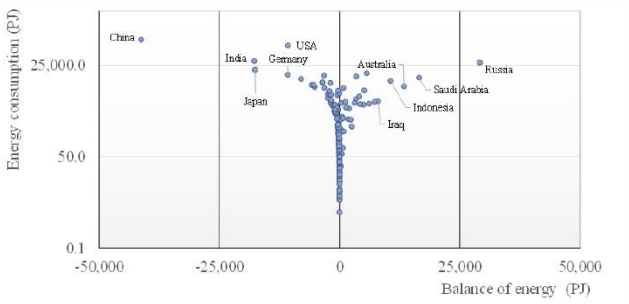
Half of the energy provided by the sun is being consumed in the water cycle, and its consumption is a necessary condition for human life. A small part of the other half is being used to convert inorganic matter to organic matter. Humans consume a small part of the organic matter as food (animals, plants) and another part as energy (wood, oil, etc.), which is essential for prosperity.



Even if the causal link of energy consumption to GDP and life expectancy is questionable according to some researchers, by correlating recent global data on the current energy consumption with GDP per capita and life expectancy, we identify interesting trends.



2. Energy production and consumption



Profiles of load demand, wind, and solar power during one day

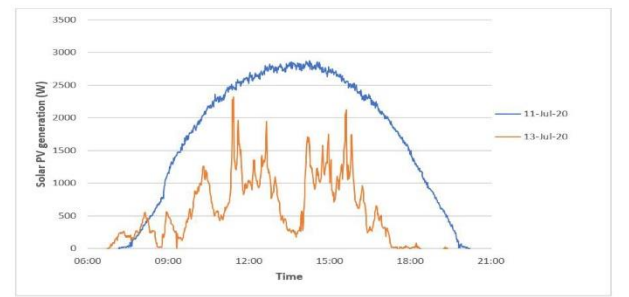
- System collapses if the demand is higher than production
- The example shows that in some periods, system works with energy surplus.



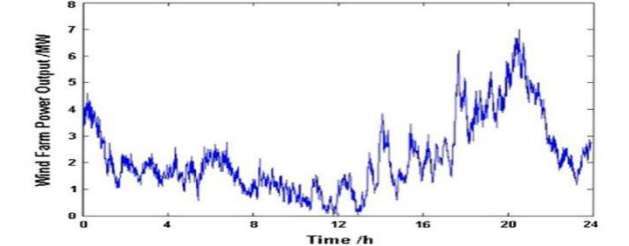
National Technical University of Athens

School of Civil Engineering

3. Power outputs by renewable energy installations

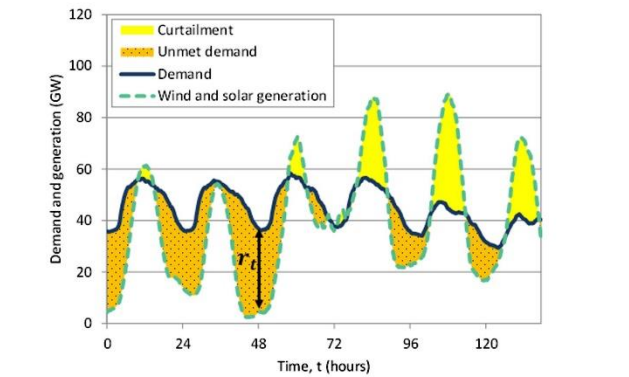


PV generation in watts for a solar PV system on 11 July 2020, when it was sunny throughout the day and on 13 July when there was a mixture of sun and cloud.

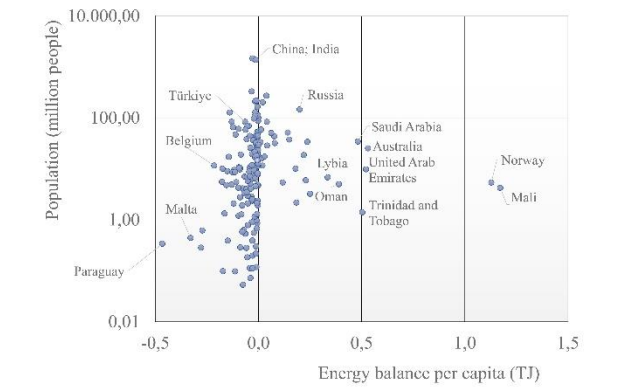


Daily wind power output profile of one wind farm in China.

4. Modeling energy needs

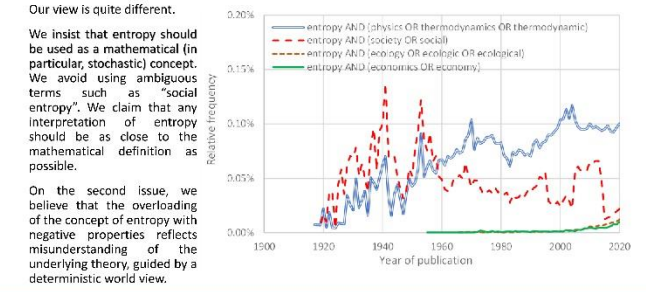


Whereas variations in the dynamics of renewable energy generation are reasonably well studied, a deeper understanding of the variations in consumption dynamics is still missing.

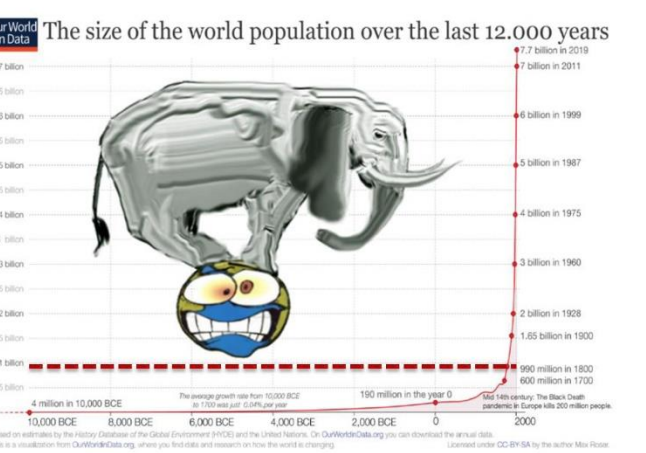


A presentation explaining the paper with the same title published in Entropy, 2021, https://doi.org/10.3390/e23101356

1. The name entropy
The name "entropy" has been introduced about 150 years ago as a scientific term but later its use became common of everyday language. We can find it in literature in poetry in press, and in web posts, but often its use is irrelevant to its real scientific meaning.



2. Entropy used in a Malthusian perspective
The dominant view is that entropy epitomizes all "bad things" one can think in the universe, in life, in human societies and in economics.



INDEPENDENT NEWS section with article: Population decline and smaller families good news for climate, says former head of FSA

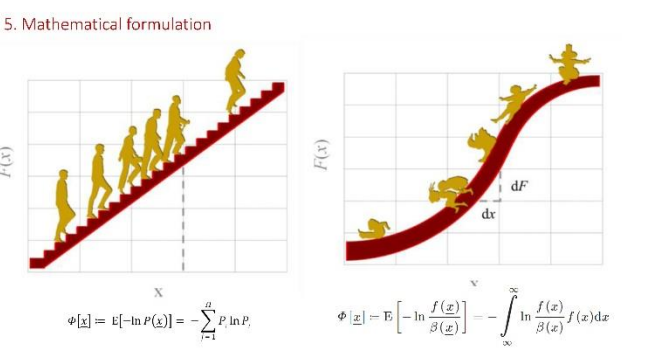
3. The name entropy
More than 150 years after the introduction of the entropy concept, its meaning is still debated. It's important to note that the connection of probabilistic and thermodynamic entropy is clearly implied by its pioneers.



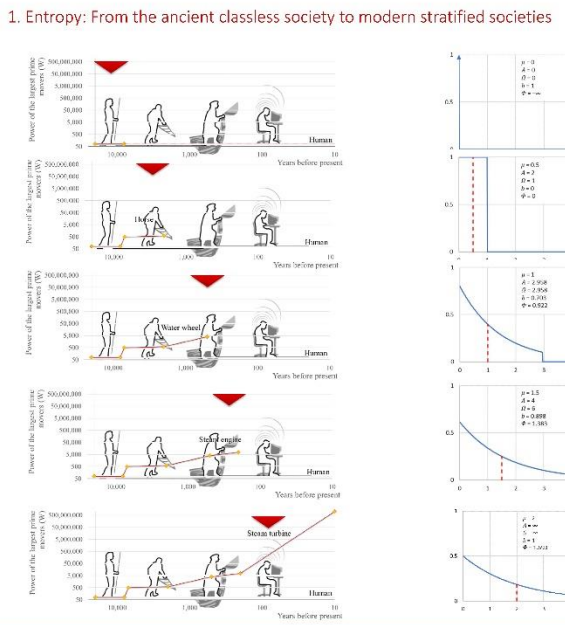
4. Entropy as a probabilistic concept
When speaking about entropy, we should have in mind that the scale is an important element and that entropy per se, being a probabilistic concept, presupposes a macroscopic view of phenomena, rather than a focus on individuals or small subsets.

Artistic representation of entropy with Greek and English terms: ε̑τροπία, δ̑ναμις / potentia, entropy, uncertainty, plurality of options, freedom.

5. Mathematical formulation
If we see entropy as uncertainty, we also understand that life is fully consistent with entropy maximization.



A presentation explaining the paper with the same title published in Entropy, 2021, https://doi.org/10.3390/e23101356

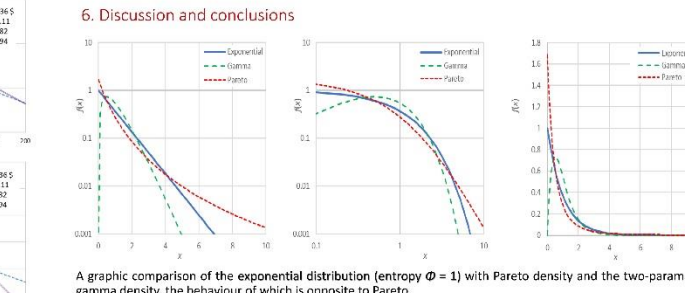


2. Introduction to empirical investigation
Two opposite forces modify the natural (exponential) distribution: An organized society redistributes income and wealth through their transferal from the richer individuals to the poorer by means of several mechanisms (e.g. taxation).

3. The failure of "80/20 rule"
In both cases, the income distribution is consistent with the principle of maximum entropy, and in particular with exponential distribution.



5. Study of the elites (2)
Figures: Conditional probability of exceedance of the annual income of the richest persons in the world. The income per person was found by subtracting the total net worth of a year from that of the previous year.



6. Discussion and conclusions
Note that, in Pareto distribution and gamma distribution, entropy Φ = 0.884.

- Furthermore, we examined two different factors, both leading to reduction of entropy and modification of the stable exponential distribution, but in different directions.
1. The organized societies use mechanisms of income redistribution in order to minimize poverty and enhance the middle class.
2. Politico-economic elites try to increase their profits, thus pointing toward a Pareto distribution, which populates more the poor and the very rich and reduces the middle class.

campingrovies Values and Costs in History 3-9 July 2023 G.-Fivos Sargentis, Panos Deferaios, Nikos D. Lagaros and Nikos Mamasiss

A presentation explaining the paper with the same title published in World, 2022, https://doi.org/10.3390/world3020014

1. Introduction The history of civilization is a pursuit of wealth. Related archeological data indicate that the growth and storage of wealth was a basic function of human societies that led to stratification. The analysis of the data presented in Section 2 shows that this pursuit is aimed at increasing the life expectancy through access to water, food and energy.

Unfortunately, the quantification of the value of wealth varies both temporally and spatially. The values of gold and silver that are considered archetypal symbols of wealth, in recent history, they have fluctuated over a wide range, as demonstrated in Section 3. For this reason, we also examined the values of wheat, which is a necessary quantity for the survival of humans over time. Additionally, we compare the values of wheat in different phases of history, and we find their correspondence of these values with the present.

In Section 4, we examined the case study of Hadrian's aqueduct's construction costs. In order to approach and describe the construction of the aqueduct, a related research project [2] was implemented, including in situ research [3] and underground explorations.

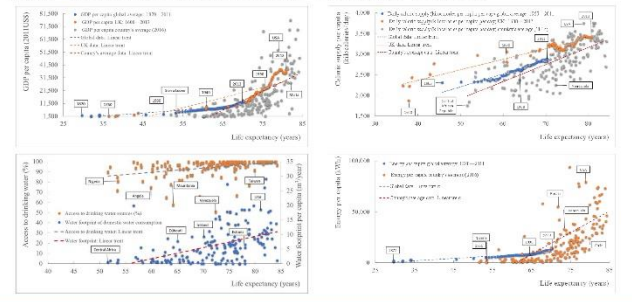
The Hadrianic aqueduct of Athens was built in the early second century AD at a time when there was an economic and social continuity from the first century. The available literature gives data from inscriptional evidence, with the correlations between the pieces of wheat per liter and the wages of various professions at that time.

In order to quantify the cost of the Hadrianic aqueduct, we describe in detail how it was constructed, we analyze the labor-time required and we calculate the total cost with the corresponding labor and wages of the Roman period.

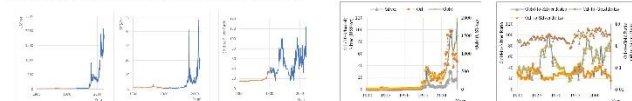
The study correlates the values in antiquity with values of today's prices (February 2022) in Greece, which is the place of construction of the aqueduct, and we estimate the costs of a similar project using modern material techniques.

Overall, this paper presents a holistic approach of values and costs in history, comparing the prosperity of society in different eras, using standardized measures such as wheat wages and water footprint per capita. Furthermore, this paper presents a unique analytical description of the Hadrianic aqueduct, a large-scale infrastructure construction in antiquity, estimating its cost in standardized values.

2. True Wealth, Life Expectancy related to the Water-Energy-Food Nexus

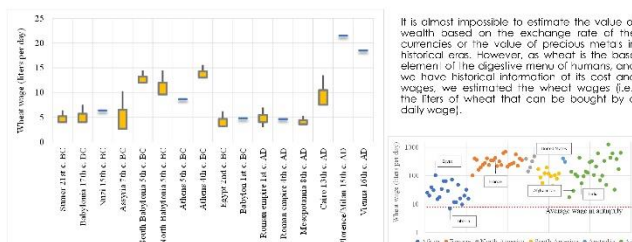


3. Can we standardize the values of wealth?



4. Correlations between wealth in antiquity and now

There, the absolute dominance of the dollar in the markets and strict adherence to trade agreements even between struggling and postwar economies and the linking of the dollar to gold at USD 35 per ounce were established. However, as the US had developed dollar currency, with a unilateral proclamation on an August Sunday in 1970, Richard Nixon suspended the convertibility of the dollar into gold.

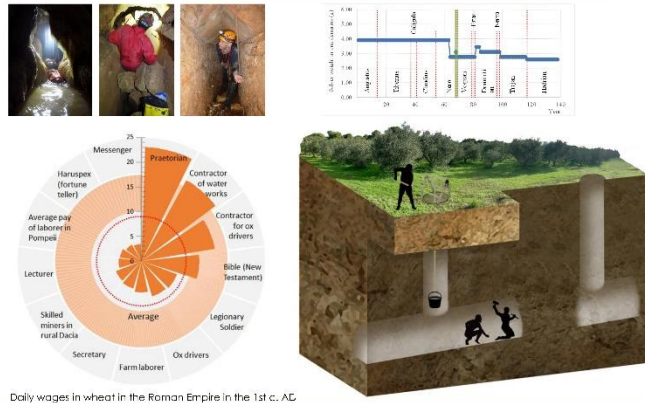
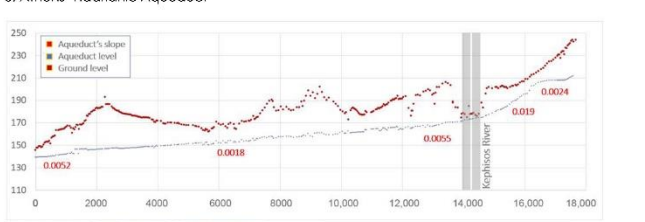


5. Case Study: The cost of Athens' Hadrianic Aqueduct



ADDOPTML National Technical University of Athens School of Civil Engineering

6. Athens' Hadrianic Aqueduct



7. Conclusions

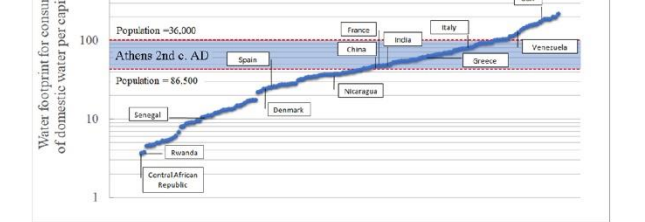
The values of the commonly used symbols of wealth (gold and silver) contrast throughout history by social issues, as the demand for gold and silver can vary widely with a fixed supply, which can lead to equally wild swings in their prices. We know that humanity hunts for wealth (Water-Energy-Food), with large-scale infrastructures and economies of the scale making this more efficient. This paper describes the frame of the social conditions when the Hadrianic aqueduct was built. An analytical technical description with volumes of excavations and coating areas is also presented. Analyzing global data, we showed that about 1.4 billion people live in present under the average lower wages in antiquity.

Assuming the same technological methods for underground projects as in ancient Laurion mines, we gave a first estimation of the total laborers needed in the efforts for the construction. The estimated value was about 2,000,000 labor days for different specialities. Inspecting the social efforts and salaries in the Roman era, we assumed the stratification and the organization of the construction site. We made an optimum hypothetical construction site, and we organized the workers in shifts as continuous workers (24 h constantly).

According to our approach, we found that the maximum number of laborers that could work on this construction should be about 4000 people and will end the construction in less than two years. However, in the literature, it is referred that the time of construction is between 6 and 15 years. We estimated that the aqueduct could be constructed in 15 years approximately by 500 workers or in 6 years approximately by 1200 workers.

Analyzing the daily wages of different specialties, we estimated that the total daily wages for the construction of the Hadrianic aqueduct in antiquity was 14,250,000 kg, and silver was 3800 kg. However, we did not include the costs of tools, animals and supplementary sources. We estimated that, using today's prices in Greece (February 2022), the wheat wages of antiquity (14,250,000 kg) cost about 7,150,000 EUR, and the wages in silver (3800 kg) cost about 2,500,000 EUR. Further research could examine the project financing scheme in antiquity.

Finally, we showed that the Hadrianic aqueduct changed the life of Athenians, giving them daily at least 10,000 m3. We investigated the range of the population in Roman Athens, and we estimated a range of the water footprint of the consumption of domestic uses per Athenian. We found that, according to the global standards, there are about two million people with less water footprint for consumption of domestic uses than the minimum water footprint of an Athenian in the Roman era.

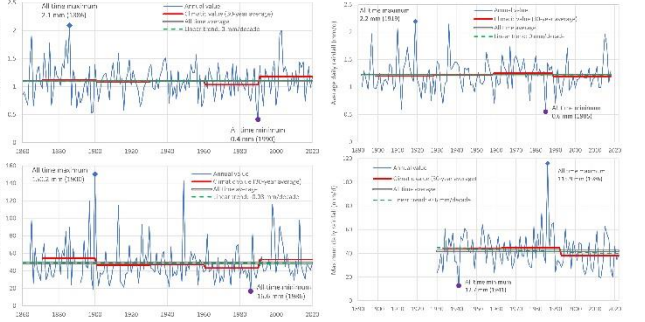


Overall, we showed that, with present technological innovations, the cost of the Hadrianic aqueduct would be less than in antiquity. However, we noted that humanity has not made great progress in the last 2000 years, as about one third of the population lives with less food and water than Athenians during the Roman era.

campingrovies A cool look at rainfall climatic changes in Greece and worldwide 3-9 July 2023 T. Iliopoulou and D. Koutsyiannis

A cool look at rainfall climatic changes in Greece and worldwide

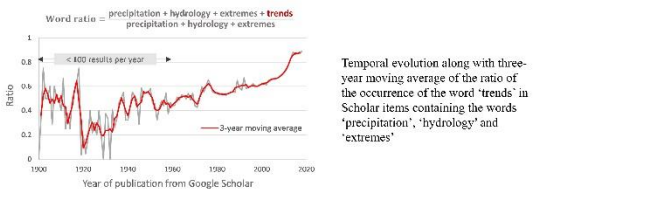
In the context of implementing the European Flood Directive in Greece, a large set of rainfall data was compiled for the entire country. This set included ground rainfall data as well as non-conventional data from reanalyses and satellites. This dataset was also investigated from a climatic perspective using the longest of the data records to assess whether or not they support the climate crisis doctrine. Monte Carlo simulations, along with stationary Hurst-Kolmogorov (HK) stochastic dynamics, were also employed to compare data with theoretical expectations. Rainfall extremes are proven to conform with the statistical expectations under stationarity. The only notable climatic events found are the clustering (reflecting HK dynamics) of water abundance in the 1960s and dry years around 1990, followed by a recovery from drought conditions in recent years.



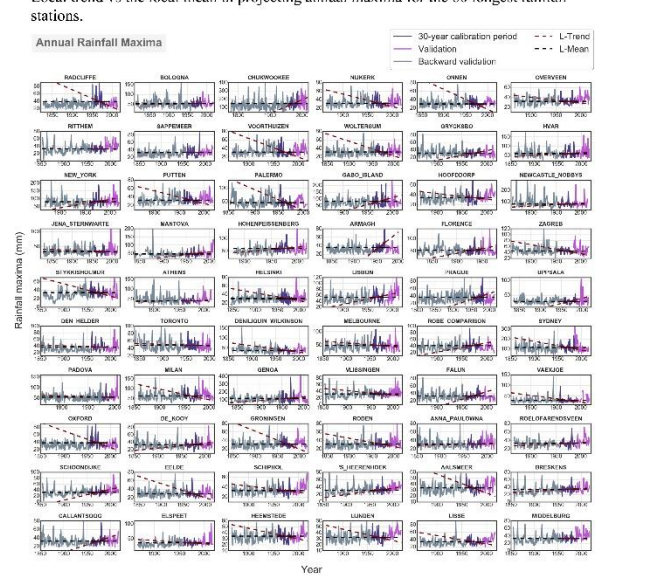
Time series of daily precipitation series in Athens, at the Hill of Nymphs station of the National Observatory of Athens (average daily values start in 1860 with a total length of 161 years, daily and maximum daily values start in 1864 with a total length of 155 years). The graph also shows (a) the high and low records, (b) the climatic values (30-year averages), and (c) the fitted linear trends. (Upper): average daily rainfall; (lower): maximum daily rainfall.

Are trends effective models for future rainfall projections?

Non-stationarity approaches have been increasingly popular in hydrology, reflecting scientific concerns regarding intensification of the water cycle due to global warming. A considerable share of relevant studies is dominated by the practice of identifying linear trends in data through in-sample analysis. Here, the problem of trend identification is reframed using the out-of-sample predictive performance of trends as the reference point for model selection. A systematic methodological framework is devised in which linear trends are compared to simpler mean models, based on their performance in predicting climatic-scale (30-year) annual rainfall indices, i.e. maxima (AM), totals (AT), wet-dry average (WDAV) and probability dry (PD), from long-term daily records. Analysis of empirical records spanning over 150 years of daily data suggests that future long-term variability is better captured using local mean models rather than trends. In line with theoretical findings for persistent processes, it is shown that prediction-wise, simple is preferable to trendy.



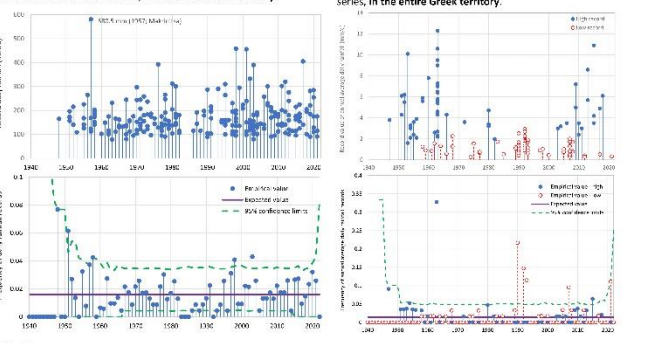
Local trend vs the local mean in projecting annual maxima for the 60 longest rainfall stations.



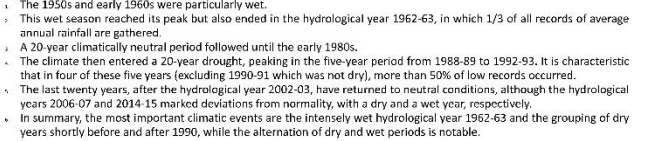
Boxplots of the average RMSE and standard deviation of RMSE as estimated for each station from moving window application of the local (L-Mean), global (G-Mean) and local (L-Trend) and global (G-Trend) for all rainfall indices.

ADDOPTML National Technical University of Athens School of Civil Engineering

Records of maximum daily precipitation depth (upper) and frequency thereof per year (lower) for the 62 stations with long time series of annual maxima, in the entire Greek territory.



High and low records of average daily precipitation depth and frequency thereof per year (lower) for the 62 stations with long time series of complete daily or monthly time series, in the entire Greek territory.

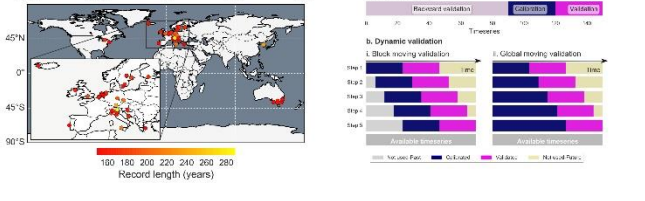


Findings

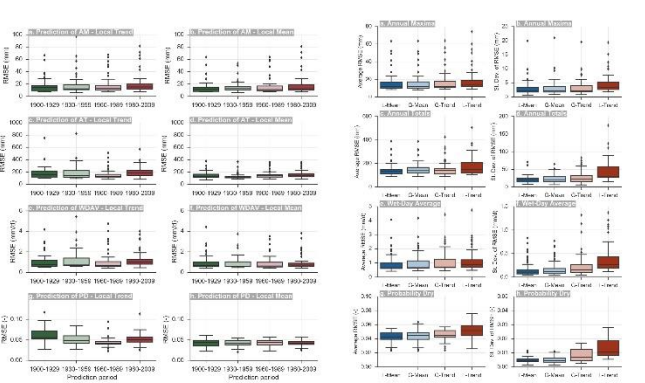
- The 1950s and early 1960s were particularly wet. This wet season reached its peak but also ended in the hydrological year 1962-63, in which 1/3 of all records of average annual rainfall are gathered. A 20-year climatically neutral period followed until the early 1980s. The climate then entered a 20-year drought, peaking in the five-year period from 1988-89 to 1992-93. It is characteristic that in four of these five years (excluding 1990-91 which was not dry), more than 50% of low records occurred. The last twenty years, after the hydrological year 2002-03, have returned to neutral conditions, although the hydrological years 2006-07 and 2014-15 marked deviations from normality, with a dry and a wet year, respectively. In summary, the most important climatic events are the intensely wet hydrological year 1962-63 and the grouping of dry years shortly before and after 1990, while the alternation of dry and wet periods is notable.

Reference:

D. Koutsyiannis, T. Iliopoulou, A. Koukouvinos, N. Malamos, N. Mamasiss, P. Dimitriadis, N. Tzvetidis, and D. Markantonis, In search of climate crisis in Greece using hydrological data: 404 Not Found, Water, 15 (9), 1711, doi:10.3390/w15091711, 2023.



Boxplots of the RMSE distribution from the static validation application to the stations with data in all four prediction periods, 1900-1929, 1930-1959, 1960-1989, 1990-2009, for the local mean (L-Mean) and local trend (L-Trend) models, for all rainfall indices.



Findings

- Future rainfall variability is on average better predicted by mean models, as local trend models identify features of the process that are unlikely to survive the end of the calibration sample, either being extreme observations, or 'trend-like' behaviour. This empirical finding suggests that the large inherent variability present in the rainfall process makes the practice of extrapolating local features in the long-term future dubious, especially when the complexity of the latter increases. Prediction-wise, it is shown that simple is preferable to trendy.

Reference:

T. Iliopoulou, and D. Koutsyiannis, Projecting the future of rainfall extremes: better classic than trendy, Journal of Hydrology, 588, doi:10.1016/j.jhydrol.2020.125005, 2020.

Presentation of posters



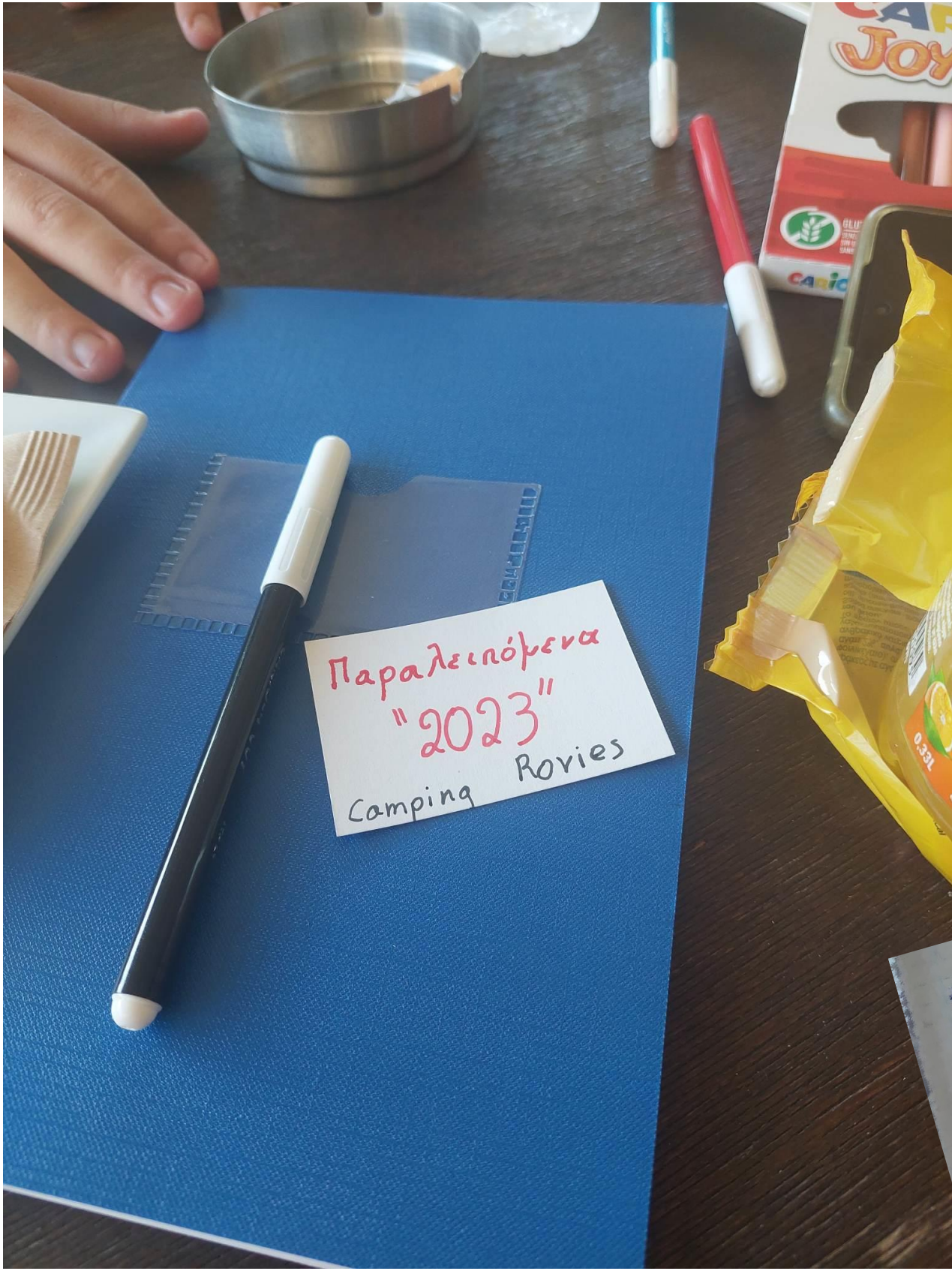
Other activities in the morning



Other activities in the evening



Scrapbook with the impressions of the students



The last photo



This summer school was supported by the ADDOPTML project: “ADDitively Manufactured OPTimized Structures by means of Machine Learning” (No: 101007595) belonging to the Marie Skłodowska-Curie Actions (MSCA) Research and Innovation Staff Exchange (RISE) H2020-MSCA-RISE-2020.

